

# Лекция 1. Размерные оценки в физике. Приближенные оценки с использованием «малого параметра».

## 1 Размерные оценки

(источник: [1], стр. 9-12)

### 1.1 Теорема Пифагора: доказательство по размерности

Рассмотрим прямоугольный треугольник  $A$  с острым углом  $\alpha$  и гипотенузой  $a$ . Его площадь равна, по размерности,  $S_A = a^2 f(\alpha)$ , где  $f(\alpha)$  - какая-то функция (неважно, какая именно). Опустим перпендикуляр из вершины прямого угла на гипотенузу, получим что исходный треугольник состоит из 2-х треугольников  $B$  и  $C$  с гипотенузами  $b$  и  $c$  соответственно (это также катеты исходного треугольника  $A$ ). Тогда  $S_B = b^2 f(\alpha)$  и  $S_C = c^2 f(\alpha)$ . Но  $S_A = S_B + S_C$ , т.к. площадь исходного треугольника  $A$  полностью и точно покрывается треугольниками  $B$  и  $C$ . Получаем равенство  $a^2 f(\alpha) = b^2 f(\alpha) + c^2 f(\alpha)$ , сокращаем на  $f(\alpha)$  и получаем ожидаемое:  $a^2 = b^2 + c^2$ .

### 1.2 Движение шара в вязкой среде

Рассмотрим движение шара радиуса  $R$  со скоростью  $u$  относительно жидкости с вязкостью  $\eta$  и плотностью  $\rho$ . Уравнение Навье-Стокса для скорости  $\mathbf{v}(\mathbf{r})$  движения вязкой несжимаемой жидкости имеет вид (для стационарного случая, когда  $\partial \mathbf{v} / \partial t = 0$ ):

$$\rho(\mathbf{v} \nabla \mathbf{v}) = \eta \nabla^2 \mathbf{v} - \nabla p \quad (1)$$

где  $p = p(\mathbf{r})$  - давление жидкости. Чтобы можно было рассматривать задачу как стационарную, следует перейти в систему координат, где шар неподвижен (т.е. скорость жидкости равна  $u$  на большом расстоянии от шара).

Задача в том, чтобы найти силу  $F$  сопротивления движению шара со стороны жидкости. Кинематическая вязкость жидкости  $\nu = \eta/\rho$  имеет размерность  $cm^2/sec$ . Из величин  $R$ ,  $u$  и  $\nu$  можно составить безразмерную комбинацию  $Re = uR/\nu$ , называемую числом Рейнольдса. Рассмотрим задачу качественно, при малых и больших числах Рейнольдса.

При  $Re \ll 1$  нелинейный член уравнения Найвье-Стокса (левая часть в 1) мал по сравнению с "вязким" членом, по крайней мере на расстояниях порядка радиуса шара:  $(\mathbf{v}\nabla\mathbf{v}) \ll \nu\nabla^2\mathbf{v}$  при  $r \sim R$ . Поэтому опустим нелинейный член в (1) и получим тогда

$$\eta\nabla^2\mathbf{v} - \nabla p = 0 \quad (2)$$

$$\nabla\mathbf{v} = 0 \quad (3)$$

где мы включили также уравнение непрерывности. Система уравнений (2,3) не содержит плотности жидкости  $\rho$ , поэтому сила трения  $F$  тоже не может ее содержать. Из оставшихся величин можно составить лишь одну комбинацию размерности силы:

$$F_1 = A\eta R u \quad (4)$$

где  $A$  - численный коэффициент. Аккуратное решение задачи (см. например книгу [2], параграф 20) приводит к ответу  $A = 6\pi$ . При произвольном числе  $Re$  выражение для силы можно записать в виде

$$F = 6\pi\eta R u \Phi(Re) \quad (5)$$

где  $\Phi(x)$  некоторая функция, причем  $\Phi(0) = 1$ .

При  $Re \gg 1$  следует, напротив, пренебречь "вязким" членом в уравнении Навье-Стокса. В самом деле, отношение этого члена к нелинейному члену имеет порядок  $\nu/ux \ll 1$  на расстояниях  $x \sim R$  от поверхности шара (лишь в тонком слое толщины порядка  $R/Re$  вязкость становится существенна). Тогда соображения размерности определяют единственно возможное выражение для силы трения:

$$F_2 = B R^2 \rho u^2 \quad (6)$$

Сравнивая (5) и (6), убеждаемся, что при больших  $x$  функция  $\Phi(x) \rightarrow (B/6\pi)x$ . Определение коэффициента  $B$  является более сложной задачей. Оказывается, что  $B$  численно мало, так что переход от "медленного" движения, описываемого формулой (4), к "быстрому" , формула (6), происходит лишь при  $Re \sim 100$ , а не при  $Re \sim 1$ , как можно было бы подумать. Большие численные множители нечасто возникают в подобных оценках, но иногда это случается, указывая на ограниченность применимости оценок "по порядку величины" .

### 1.3 Нелинейность уравнений Maxwella в пустоте

Оценим величину электрического поля  $\mathcal{E}_c$ , при котором можно ожидать нелинейности уравнений электромагнитного поля, связанной с рождением электронно-позитронно пар из вакуума. Она оценивается умножением силы  $e\mathcal{E}_c$  на длину  $r_e$  порядка "размера электрона" , составленную из постоянной Планка, массы электрона и скорости света:  $r_e = \hbar/mc$ . Произведение  $e\mathcal{E}_c r_e$  имеет размерность энергии, и его надо сравнивать с энергией  $2mc^2$  необходимой для рождения двух частиц массы  $m$ . Получим  $\mathcal{E}_c \sim m^2 c^3 / e\hbar \sim 2 \cdot 10^{16} V/cm$ . Сравним с типичным

## Электрометр для изучения дискретности заряда

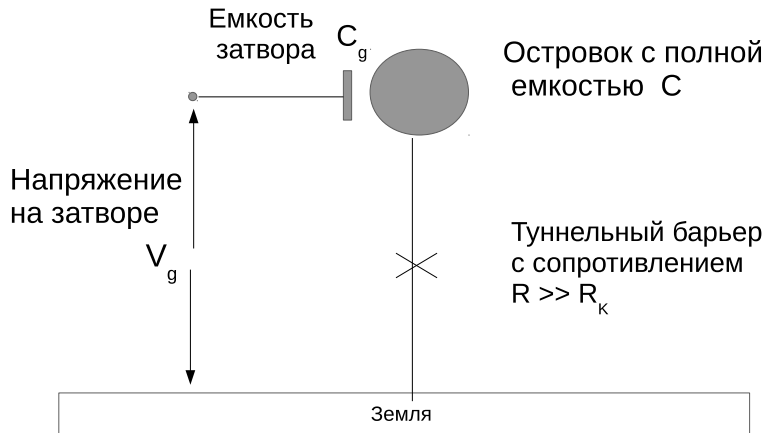


Рис. 1: Электрометр, использующий явление "кулоновской блокады".

электрическим полем в атоме  $\mathcal{E}_a = Ry/e a_0 = 3 \cdot 10^9 V/cm$  и убедимся, что эти поля отличаются на 7 порядков.

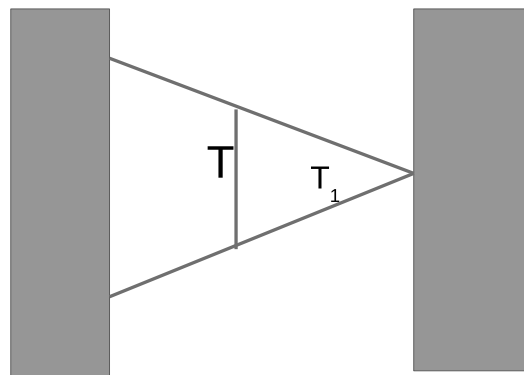
### 1.4 Квант сопротивления

Размерность квадрата заряда  $[e^2] = [energy * length]$ , а размерность сопротивления  $[Ohm] = [V/cm] = (erg/e)/(e/sec) = [erg * sec/e^2] = [(velocity)^{-1}]$ . Мы знаем, что  $e^2/\hbar c = 1/137$  - безразмерная величина - "постоянная тонкой структуры". Таким образом,  $e^2/\hbar$  имеет размерность скорости, а обратная величина  $\hbar/e^2$  - сопротивление. Выражая это сопротивление в привычных единицах, получим  $R_K = h/e^2 = 2\pi\hbar/e^2 \approx 26 KOhm$ . Квант сопротивления  $R_K$  играет очень важную роль в проводимости наноструктур. Простейший пример: кванто-

ние числа электронов на маленьком островке металла возможно, если сопротивление контакта между островком и внешним миром много больше  $R_K$ , см. Рис. 1. В самом деле, при изменении заряда на островке электрометра на заряд электрона  $e$ , электростатическая энергия меняется на величину порядка  $E_C = e^2/2C$ . Это изменение энергии существенно, если эта энергия определена с точностью много лучше чем  $E_C$ . С другой стороны, время изменения заряда на конденсаторе емкости  $C$ , соединенном с внешней цепью сопротивлением  $R$ , имеет порядок  $\tau = RC$ , а соответствующая квантовая неопределенность энергии  $\delta E \sim h/\tau$ . Для того, чтобы  $\delta E$  было мало по сравнению с  $E_C$ , и необходимо условие  $R \gg R_K$ .

## 1.5 Парадокс последовательно включенных сопротивлений

Треугольная пленка между двумя массивными контактами



Треугольники Т и Т<sub>1</sub> подобны. Казалось бы, их сопротивления между основанием и вершиной должны быть равны.  
Но это невозможно, т.к. один есть часть другого.

В чем состоит разгадка парадокса ?

Рис. 2: Парадокс о сопротивлении треугольников.

## 2 Нелинейный осциллятор

Уравнение движения

$$md^2x/dt^2 = -\kappa(x - x_0) + \beta(x - x_0)^2 = -\frac{dU(x)}{dx} \quad (7)$$

где потенциальная энергия приведена с точностью до кубического члена разложения вблизи его минимума  $x = x_0$ . Как узнать, существенна ли роль нелинейных членов ?

Пример: полярная молекула  $\text{H}^+ \text{Cl}^-$ . Минимум потенциала  $U(x)$  расположен при  $x = x_0 = 1.5 \cdot 10^{-8} \text{ cm}$ , его глубина  $U_0 = 4 \text{ эВ}$ . Частота колебаний молекулы известна и равна  $f_0 = 9 \cdot 10^{13} \text{ Hz}$ , что соответствует круговой частоте  $\omega_0 = 2\pi f_0 \approx 6 \cdot 10^{14} \text{ s}^{-1}$ . Знание величины  $\omega_0$  позволяет определить константу  $\kappa$ . В самом деле, массы ядер известны ( $m_H = 1.67 \cdot 10^{-24} \text{ g}$ ,  $m_{Cl} = 35m_H$ ) и тем самым легко определить приведенную массу осциллятора  $m$ , после чего при помощи выражения для частоты осциллятора  $\omega_0^2 = \kappa/m$  и находится  $\kappa$ .

Теперь оценим степень нелинейности этого 1-мерного осциллятора. Начнем с "нулевых" колебаний из-за квантовой неопределенности "координата-импульс". С одной стороны, энергия основного состояния осциллятора равна  $\frac{1}{2}\hbar\omega_0$ , а с другой стороны, она должны быть примерно равна величине  $\kappa x_Q^2$  где  $x_Q$  - типичная амплитуда нулевых колебаний. Отсюда получим  $x_Q = \hbar\omega_0/\kappa$ . Отношение квадратичного члена в уравнении (7) к линейному члену при  $x \sim x_Q$  и определит степень нелинейности нашего осциллятора при самых низких температурах:

$$\alpha_{nonlin}^Q = \frac{\beta x_Q}{\kappa} = \frac{\beta \hbar}{\kappa(\kappa m)^{1/4}} \quad (8)$$

Остается еще вопрос: откуда взять величину  $\beta$  ? Тут мы используем метод оценки "по порядку величины" , заметив, что

потенциал  $U(x)$  указанного вида характеризуется только одним масштабом энергии  $U_0$  и одним масштабом длины  $x_0$ , поэтому  $U_0 \sim \kappa x_0^2 \sim \beta x_0^3$ . Таким образом,  $\beta \sim \kappa x_0$ .

**Упражнение 1 :** получить численную оценку для величины  $\alpha_{nonlin}^Q$  для рассмотренной молекулы, явным образом проводя все изложенные выше рассуждения. Затем выяснить, как меняется полученный результат в последовательности молекул  $\text{H}^+ \text{Cl}^-$ ,  $\text{H}^+ \text{Br}^-$ ,  $\text{H}^+ \text{I}^-$ , предполагая что потенциал взаимодействия ионов в молекуле один и тот же во всех этих случаях.

Перейдем теперь к рассмотрению тепловых колебаний той же молекулы и приравняем энергию колебаний  $\kappa x_T^2$  тепловой энергии  $k_B T$ . Получим  $x_T = \sqrt{k_B T / \kappa}$ . Температуры, при которых  $x_T \gg x_Q$  - достаточно высокие, чтобы можно было пренебречь квантовыми нулевыми колебаниями по сравнению с тепловыми. При учете члена  $x_T^2$  в уравнении движения, положение равновесия уже не будет соответствовать  $x = x_0$ , оно сдвинется. Сдвиг  $\Delta x$  определим из соотношения  $\kappa \Delta x = \beta x_T^2$ , так что его величина пропорциональна температуре.

**Упражнение 2. Тепловое расширение молекул.** Для газа тех же молекул  $\text{H}^+ \text{Cl}^-$  оценить ( в % ) изменение среднего расстояния между ионами при нагревании от комнатной температуры до 700 градусов Цельсия.

### 3 Движение с трением в потенциале “стиральной доски”.

Частица находится в периодическом потенциале

$$U(x) = -\cos(x) + \beta \cos(2x) + \gamma \cos(3x) \quad (9)$$

Уравнение движения имеет вид

$$\eta dx/dt = -dU/dx \quad (10)$$

Коэффициент трения  $\eta$  можно положить равным 1, переопределив масштаб времени, что мы далее и сделаем. Затем включается еще однородная сила  $F$ , добавляющаяся к правой части уравнения (10). С превышением величины  $F$  некоторого критического значения  $F_c$ , (равного 1 при  $\beta = \gamma = 0$ ), частица начинает двигаться с некоторой средней скоростью  $v(F)$ , которая обращается в нуль степенным образом при  $F$ , стремящемся к  $F_c$ . Как найти эту зависимость  $v(F)$  вблизи  $F_c$ ? Первый и очевидный способ - проинтегрировать уравнение движения при наличии силы  $F$ :

$$t - t_0 = \int_{x_0}^x \frac{dy}{F - dU/dy} \quad (11)$$

Однако выполнить это интегрирование в явном виде для потенциала (9) довольно сложно. Поэтому мы поступим следующим образом: сначала рассмотрим частный случай потенциала (9), а именно положим  $\beta = \gamma = 0$ . Тогда интеграл (11) легко вычисляется, и приводит к критическому значению  $F_c = 1$ :

$$t - t_0 = -\frac{2}{\sqrt{F^2 - 1}} \operatorname{arctg} \frac{F \operatorname{ctg} \frac{y}{2} - 1}{\sqrt{F^2 - 1}} \quad (12)$$

Как видно из (12), период осцилляций  $\tau$  обращается в бесконечность как  $f^{-1/2}$ , при  $f = F - 1$  стремящемуся к нулю. Соответственно, средняя скорость движения  $\overline{dx/dt}$  обращается в нуль на пороге пропорционально

$$1/\tau \propto \sqrt{f} \quad (13)$$

Этот результат на самом деле гораздо более общий, чем конкретное вычисление интеграла (11) с потенциалом  $U(x) =$

$-\cos(x)$ . Для более общего вида потенциала меняется, как правило, лишь критическое значение  $F_c$ . Сейчас мы увидим, откуда берется зависимость типа (13) и сколь она универсальна.

Рассмотрим знаменатель  $D(y)$  подинтегрального выражения (11) для случая  $f \ll 1$  и  $U(x) = -\cos(x)$ . Минимум знаменателя достигается при  $y = \pi/2$  и вблизи минимума можно написать  $D(y) = f + (y - \pi/2)^2/2$ . Поэтому главный вклад в интеграл (11) приходит именно от области  $|y| \sim \sqrt{f}$  и этот вклад имеет порядок величины  $1/\sqrt{f}$ . Вклады от других областей интегрирования в (11) оказываются порядка единицы, и потому играют относительно малую роль. Более точно, вычисляя интеграл

$$\int_{-\infty}^{\infty} dy/(f + y^2/2) = \frac{\sqrt{2}\pi}{\sqrt{f}}$$

и сравнивая с (12), мы обнаруживаем что вся сингулярная при  $f \rightarrow 0$  зависимость периода  $\tau$  может быть правильно определена при помощи такого приближенного вычисления. Это позволяет применить такой же приближенный метод к вычислению критического поведения  $v(F)$  в более общем случае, когда явным образом вычислить интеграл (12) не удается.

### Упражнение 3. Слабо надкритическое движение.

Найти вид зависимости  $v(F)$  при  $F$  очень близком к  $F_c$ , для двух случаев:

- а)  $\beta > 0, \gamma = 0$
- б)  $\beta = 0, \gamma > 0$

Исследовать для каждого из этих случаев зависимость  $v(F)$  при произвольном  $\beta$  или  $\gamma$ .

## **Список литературы**

- [1] А. Б. Мигдал, "Качественные методы в квантовой теории"  
, "Наука" , Москва, 1975.
- [2] Л. Д. Ландау и Е. М. Лифшиц, Теоретическая физика, т.  
6 - "Гидродинамика".